

II—12 変断面柱の面外座屈に対する有効長について

琉球大学理工学部 正員 渡田純夫
琉球大学理工学部 学生員 ○金城 効

1. まえがき

近年自動車専用道路が普及し、道路上の二線橋には、しばしばラーメン橋が用いられる。このラーメン橋は美観上変断面柱でないかつて、柱端をヒンジにする例が多い。現鋼道路橋の示方書では、変断面柱に関する規定は含まれていない。面内座屈に関しては、変断面部材に関する座屈の研究は多くなされており、Stability Handbookにも種々の変断面部材の座屈値が求められている。しかし面外座屈に関してはパラメータが多く簡単に座屈公式を求める事はできない。さらに変断面部材の捩り座屈はあまりなされておらず、有効座屈長を求めるのに困難をきたす。そこで、著者らは変断面柱に軸力と曲げが作用したときの有効座屈長を求めようとした。ただし、ここで曲げモーメントは偏心荷重を与えることにより得たものである。

2. 変断面柱の座屈解析

仮想仕事に基づき、増分荷重法による座屈に対するつり合い式は

$$\int \delta u_{ij} \delta u_{ij} dv + \int \bar{\sigma}_{ij} u_{ij} \delta u_{ij} dv = 0 \quad (1)$$

で与えられる。ここで、 δu_{ij} 、 u_{ij} はそれぞれ応力およびひずみテンソルである。式(1)の第1項は、薄肉断面では

$$\int \delta u_{ij} \delta u_{ij} dv = \int E (A \delta \xi' + I_y \delta \eta' + I_z \delta \theta') d\zeta + G \int J \theta' \delta \theta' d\zeta \quad (2)$$

となる。ここで、 ξ' 、 η' 、 θ' は x 、 y 、 z 方向の変位であり、 θ は $x-y$ 平面の捩り角である。

式(1)の第2項は幾何剛性行列を導く項であり、軸力 P と軸力の偏心 (距離 e) による曲げに対するつり合い式のように与えられる。

$$\int \{ (\xi' \delta \xi' + \eta' \delta \eta') + e_x (\xi' \delta \theta' + \theta' \delta \xi') + e_y (\eta' \delta \theta' + \theta' \delta \eta') + \frac{I_p + A e_x^2}{A} \theta' \delta \theta' \} d\zeta \quad (3)$$

ここで、H型断面を想定すると、二軸対称となり、また曲げは y 軸に関するもののみとする、 $e_x=0$ となる。これらの条件のもとでの捩り座屈に関するつり合い式は

$$\int E (I_y \delta \xi' + I_z \delta \theta') d\zeta + \int G (J \theta' \delta \theta') d\zeta + \bar{P} \int \{ \xi' \delta \xi' + e_y (\xi' \delta \theta' + \theta' \delta \xi') + \frac{I_p + A e_x^2}{A} (\theta' \delta \theta') \} d\zeta \quad (4)$$

$$\text{ここで、 } I_p = \int (x^2 + y^2) dA = I_x + I_y$$

今、 ξ' および θ' を ζ の3次式の関数で假定し、変断面の I_y 、 I_z 、 J 、 e_y 、 I_p 、 A を直線的に変化するものとしよう。したがって、

$$\{ \xi' \} = \langle f_3 \rangle \{ \xi \}, \quad \{ \theta' \} = \langle f_3 \rangle \{ \theta \} \quad (5)$$

$$\langle f_3 \rangle = \langle (1 - 3\beta^2 + 2\beta^3), (\beta - 2\beta^2 + \beta^3)l, (3\beta^2 - 2\beta^3), (-\beta^2 + \beta^3)l \rangle$$

ここで、 $\beta = \delta/l$ であり、長さを無次元化した。

式(5)を式(4)に代入すると、

$$[K_s] \{ u \} + \bar{P} [K_g] \{ u \} = 0$$

ここで、 $[K_s]$ は剛性行列であり、次式で与えられる。

$$[K_s] = \begin{pmatrix} \left[\begin{array}{c} k_{33}^{22} EI_J \\ 0 \end{array} \right] & \left[\begin{array}{c} 0 \\ k_{33}^{22} EI_w + k_{33}^{11} G_J \end{array} \right] \end{pmatrix} \quad (6)$$

また $[K_G]$ は幾何剛性行列であり、

$$[K_G] = \begin{pmatrix} \left[\begin{array}{c} k_{33}^{11} \\ k_{33}^{11} e_3 \end{array} \right] & \left[\begin{array}{c} k_{33}^{11} e_3 \\ \frac{k_{33}^{11} I_p + A e_3^2}{A} \end{array} \right] \end{pmatrix} \quad (7)$$

となる。ここで、

$$\left[\begin{array}{c} k_{33}^{11} \\ k_{33}^{11} e_3 \end{array} \right] f(\beta) = \frac{1}{k_{33}^{11} e_3} \int f(\beta) \langle f_3^{(2)} \rangle^T \langle f_3^{(1)} \rangle d\beta \quad (8)$$

で与えられる。またこれらは 4×4 の行列となる。

3. 解析結果および考察

変断面の座屈長を求めるにあたり、著者らは図-(1)に示すよう[†]て変断面柱を計算例としてあげ、座屈荷重を求めるにあたり、[†]はその計算を簡易にするため次のような仮定をもつける。

(1)断面は直線変化をなすものとし、断面積をはじめ断面=次モーメント(I_p)、断面ニ次極モーメント(I_p)、曲げ rigidityモーメント(I_w)、および、振り定数(k)も直線変化をなすものとする。

(2)柱に作用する力は軸力と曲げを考え、曲げモーメントは偏心荷重によつて置き換え、その偏心量は曲げモーメントに対応するように直線変化をさせる。

以上のような仮定のもとで、考えている部材を4要素に分割し(一端固定他端ヒンジの境界条件のもとで部材を4要素に分割した場合の誤差は0.2%程度であり十分正確であると考えらる)。柱の固定端側の断面に対するヒンジ端側の断面の比を100% (等断面)、80%，60%，40%，20%，および10%に変化させ、さらに部材長さを種々に変化させ計算を行うことにより図-(2)、図-(3)のような結果を得た。

図-(2)、図-(3)を簡単に説明すると、図-(2)は上記のごとく断面および部材長さを種々に変化させ、曲げモーメントを偏心荷重に置き換えたときの偏心量 e を4.1cmにとることによつて得られたペー $\sigma_r - \epsilon_r$ 曲線であり、図-(3)は偏心量 e を0cm (軸圧縮力のみ)にとることによつて得られたペー $\sigma_r - \epsilon_r$ 曲線である。

なお、座屈応力を求めるにあたり、[†]は変断面柱の中央の断面積を用いた。

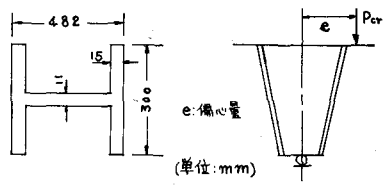


図-(1) H型変断面柱

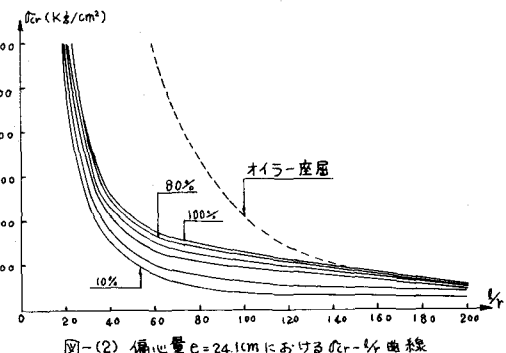


図-(2) 偏心量 $e = 4.1\text{cm}$ における $\sigma_r - \epsilon_r$ 曲線

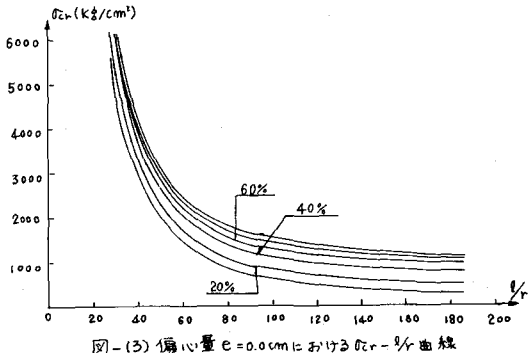


図-(3) 偏心量 $e = 0.0\text{cm}$ における $\sigma_r - \epsilon_r$ 曲線

4. あとがき

詳しい計算結果は当日発表の予定である。